

IV—6 交通状態量の動的推定モデルの比較

信州大学工学部 正員 興谷 崑
信州大学工学部 学生員 木田川 誠司

1.はじめに 信号機、標識等により交通制御を効果的に行なうにはその都市の道路網全体の交通状態量を把握する必要があるにも拘らず、その情報を主に与える車両感知器をすべてのリンクあるいは車線に設置する事は財政上等の問題により困難な場合が多い。本研究の最終目標は感知器の設置箇所についていかリンクあるいは車線も含むネットワークの効果的信号パラメータのモデル作成にあるが、その前段階として交通状態量の日変動を確率過程としてとらえ、感知器の設置箇所についていかリンクあるいは車線の交通状態量から、感知器の設置箇所についていかリンクあるいは車線の交通状態量の推定を Kalman Filter (以下 K.F. と記す) , Information Square Root Filter (以下 I.S.R.F. と記す) , 重回帰モデルにより試み、その適用性について若干考察したものである。

2. 推定手法 図 1 は対象となる系の交通状態量の概念について簡単に図示したもので x_2 が推定すべきリンク交通状態量となつてゐる。KF モデル, ISRF モデルにおける交通状態量ベクトル、観測状態量ベクトルは各々 $\bar{x} = (x_1, x_2, x_3)^T$, $y = (y_1, y_2)^T = (x_1, x_3)^T$ $= \begin{bmatrix} 1 & 0 & 0 \\ 0 & 0 & 1 \end{bmatrix} \bar{x} = \Theta \bar{x}$ と表わされ、系の遷移方程式、観測方程式は各々次のようになります。

$$\bar{x}(t+1) = \Phi(t) \bar{x}(t) + u(t) \quad \dots \dots (1) \quad y(t+1) = \Theta \bar{x}(t+1) + v(t+1) \quad \dots \dots (2)$$

ここで Φ は遷移行列、 u , v は誤差ベクトルである。

(a) KF モデル \bar{x} の推定値を \hat{x} とすると $P(1), \hat{x}(0), R_u(t), R_v(t), \Phi(t), \Theta$ を与えられることにより以下のアルゴリズムを計算で出す。 $K(t+1) = P(t+1) \Theta^T [\Theta P(t+1) \Theta^T + R_v(t)]^{-1} \dots \dots (3)$, $\hat{x}(t+1) = \Phi(t) \hat{x}(t) + K(t+1) [y(t+1) - \Phi(t) \hat{x}(t)] \dots \dots (4)$, $S(t+1) = P(t+1) - K(t+1) \Theta P(t+1) \dots \dots (5)$, $P(t+2) = \Phi(t+1) S(t+1) \Phi^T(t+1) + R_u(t) \dots \dots (6)$, 式(3)へ戻る。ここで $P(t), S(t)$ は各々時刻 $t-1, t$ までの観測量を用いて $\bar{x}(t)$ を推定した時の推定誤差の分散共分散行列、 R_u, R_v は各々 u, v の分散共分散行列である。

(b) ISRF モデル (a)における $P(1), \hat{x}(0)$ の代わりに $W^{-1}(1)$, $\hat{x}_*(1)$ を与えることにより以下のアルゴリズムを計算で出す。

$$\hat{b}(t) = W^{-1}(t) \hat{x}_*(t) \dots \dots (7), T_1 \begin{bmatrix} W^{-1}(t) \\ V^{-1}(t) \Theta \end{bmatrix} = \begin{bmatrix} Y^{-1}(t) \\ 0 \end{bmatrix} \dots \dots (8), T_1 \begin{bmatrix} b(t) \\ V^{-1}(t) y(t) \end{bmatrix} = \begin{bmatrix} \hat{b}(t) \\ e(t) \end{bmatrix} \dots \dots (9),$$

$$\hat{x}(t) = Y(t) \hat{b}(t) \dots \dots (10), T_2 \begin{bmatrix} U^{-1}(t) & 0 \\ -Y^{-1}(t) \Phi^{-1}(t) & Y^{-1}(t) \Phi^{-1}(t) \end{bmatrix} = \begin{bmatrix} F(t+1) & G(t+1) \\ 0 & W^{-1}(t+1) \end{bmatrix} \dots \dots (11),$$

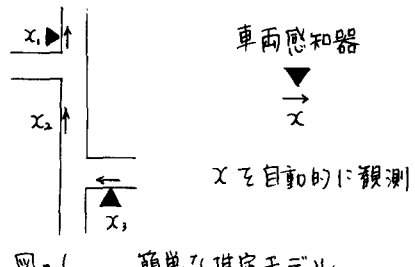


図-1 簡単な推定モデル

$$T_2 \begin{bmatrix} 0 \\ \hat{B}(t) \end{bmatrix} = \begin{bmatrix} a(t+1) \\ b(t+1) \end{bmatrix} \quad \cdots (12), \text{ 式(8)へ戻る。}$$

ここで、 $U(t)$, $V(t)$, $W(t)$, $Y(t)$ は各々 $R_u(t)$, $R_v(t)$, $P(t)$, $S(t)$ のコレスキーフ分解行列、 T_1 , T_2 はハウスホルダー法により構成された直交正規行列である。

(C) 重回帰モデル 図1の記号を用いれば具体的には次のように表現される。 $X_2 = aX_1 + bX_3 + c \quad \cdots (13)$ 最小自乗法により定数 a , b , c の最確値を求め、以後の推定計算に用いる。

なお、(a)(b)の中 (t) を決める（系を同定する）時にモルダル、ISRF モデルが使用される。

3. 適用例

図2に示す長野市県庁通り道路網の各感知器から得られた5分間交通量のデータを用いて断面交通量を推定して結果の一端を記す。

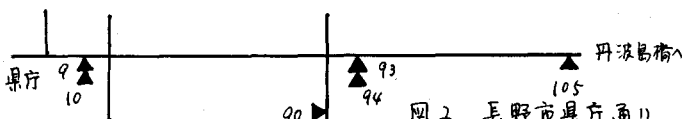


図2 長野市県庁通り

表1、2における変数1は当日の交通状態量の一次平滑値と前日のそれとの差を改めて当日の交通状態量とし、変数2は当日の交通状態量の一次平滑値を当日の交通状態量として事に対応している。又、上段の誤差率は年法あるいはパターンの全体的な適用精度を、下段のそれは年法の柔軟性を明らかにすると思われる。まず表1は、断面交通量を推定するにおける断面のオーネット線に感知器を設置するのが最も有効な事を示唆している。この推定パターンを用い、各推定年法の適用性を探る結果が表2に示されている。これを見ると、計算時間を考慮せず1つの感知器からの情報だけという条件ならば、KFモデル、ISRFモデルの制御理論が良好な結果を与えている事が分る。又、全体的な精度の良さは変数1にあたる、柔軟性は変数2にあたると思われる。

4. おわりに

車線の多い場合、観測感知器を増やした場合、交通状態量として時間オキューパンシーを用いた場合の結果とそれらの総合的な考察について1は当日発表する予定である。交通状態量は様々な交通制御パラメータに影響されることが思われるが、モデルがそのような交通制御パラメータを含んでいないこともある程度の精度を柔軟性が得られることがある可能性を考える。

〔参考文献〕 奥谷、木田川「感知器による計測による交通状態量の推定」
第23回自動制御学会講演会前刷

推定パターン 観測 感知器	推定期 交通量	単純 加重平均 誤差率 誤差率	
		誤差率	誤差率
9	93+94	0.130 0.296	0.197 0.528
10	"	0.402 1.571	1.744 8.594
90	"	0.127 0.370	0.166 0.604
93	"	0.105 0.219	0.157 0.300
94	"	0.092 0.193	0.134 0.332
105	"	0.243 2.131	0.819 9.783

表1 感知器が1つの場合
各パターンの誤差
年法へKF, 変数1
上段へ平日8日間の誤差の平均値
下段へパターンが変化した日の誤差

推定年法 モデル	変数	単純 加重平均 誤差率 誤差率	
		誤差率	誤差率
KF モデル	1	0.058 0.119	0.076 0.171
	2	0.082 0.092	0.132 0.130
ISRF モデル	1	0.058 0.114	0.079 0.159
	2	0.098 0.105	0.155 0.145
重回帰 モデル	1	0.088 0.193	0.096 0.207
	2	0.495 0.470	0.498 0.475

表2 各年法の推定誤差
 $(94) \rightarrow (93+94)$